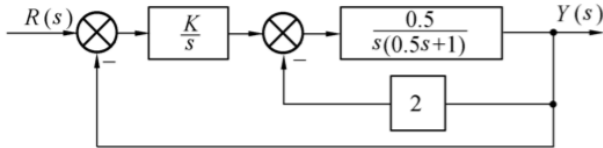


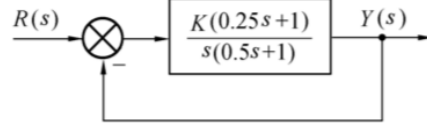
# 自动控制理论 A 作业 10

2019 年 11 月 29 日

- 4.1 某反馈系统的方框图如题 4.1 图所示。试绘制  $K$  从 0 变到  $\infty$  时该系统的根轨迹图。  
 4.2 试应用根轨迹法确定题 4.2 图所示系统无超调响应时的开环增益  $K$ 。

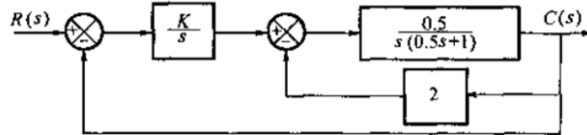


题 4.1 图 反馈系统方框图



题 4.2 图 反馈系统方框图

- 4-1 某反馈系统的方框图如题 4-1 图所示。试绘制  $K$  从 0 变到  $\infty$  时该系统的根轨迹图。



题 4-1 图

解 给定控制系统的开环传递函数为

$$G(s) = \frac{K}{s} \cdot \frac{\frac{1}{2}}{1 + \frac{\frac{1}{2}}{s(\frac{1}{2}s+1)} \times 2} = \frac{K}{s(s^2 + 2s + 2)}$$

给定系统的根轨迹方程为

$$\frac{K}{s[s - (-1 + j)][s - (-1 - j)]} = -1$$

代表  $180^\circ$  根轨迹。

(1) 开环极点  $p_1 = -1 + j, p_2 = -1 - j, p_3 = 0, n = 3$ , 无开环零点, 即  $m = 0$ , 故当  $k \rightarrow \infty$  时三条根轨迹均趋向无穷远处。

(2) 三条渐近线在实轴上相交于一点, 其坐标为

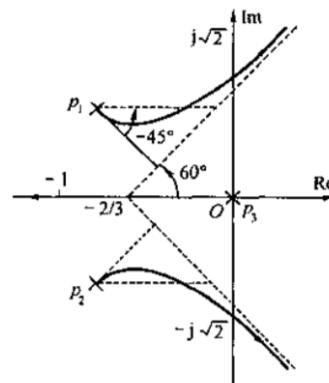
$$\sigma_a = \frac{\sum_{j=1}^n p_j - \sum_{i=1}^m z_i}{n - m} = -\frac{2}{3}$$

渐近线与实轴正方向的夹角为

$$\varphi_l = \frac{(2l+1)\pi}{n-m} = \frac{(2l+1)\pi}{3} \quad (l=0, 1, 2, \dots, n-m-1)$$

解得  $\varphi_1 = 60^\circ, \varphi_2 = 180^\circ, \varphi_3 = -60^\circ$ 。

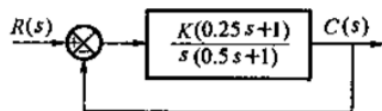
(3)  $(-\infty, 0]$  属于实轴上的根轨迹。



题 4-1 解图

4-2 试应用根轨迹法确定题 4-2 图所示系统无超调响应时的开环增益  $K$ 。

解 题 4-2 图所示系统的开环传递函数为  $G(s) = \frac{K(0.25s+1)}{s(0.5s+1)}$ , 化成标准形式, 得  $G(s) = \frac{k(s+4)}{s(s+2)}$ , 式中  $k = 0.5K$ 。则根轨迹方程为  $\frac{k(s+4)}{s(s+2)} = -1$ , 属于  $180^\circ$  根轨迹。



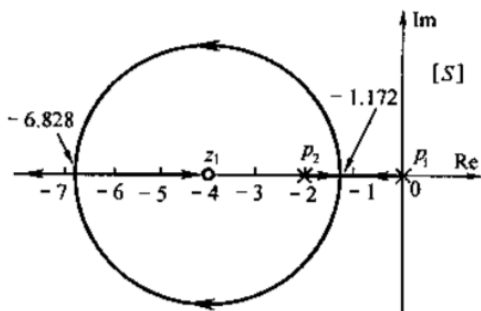
题 4-2 图

(1) 开环极点  $p_1 = 0, p_2 = -2, n = 2$ ; 开环零点  $z_1 = -4, m = 1$ 。所以系统具有两条根轨迹及一条渐近线。

(2) 渐近线与实轴正方向的夹角为  $\varphi = \frac{(2l+1)\pi}{n-m}$ , 取  $l = n - m - 1 = 0$ , 得  $\varphi = 180^\circ$ 。

(3)  $(-\infty, -4]$  和  $[-2, 0]$  属于实轴上的根轨迹。

(4) 计算根轨迹在实轴上的分离点与会合点坐标。由  $\sum_{j=1}^n \frac{1}{d-p_j} = \sum_{i=1}^m \frac{1}{d-z_i}$ , 有  $\frac{1}{d} = \frac{1}{d+2} = \frac{1}{d+4}$ , 解得分离点坐标  $d_1 = -1.172$  及会合点坐标  $d_2 = -6.828$ 。



题 4-2 解图

给定系统的根轨迹图如题 4-2 解图所示, 在复平面上根轨迹是以零点  $z_1 = -4$  为圆心、以零点到分离点(或会合点)的距离为半径的圆。系统无超调响应时, 系统的特征根全部为实数。即在根轨迹图上对应  $(-\infty, -4)$  和  $(-2, 0)$  两区段。系统特征方程为  $0.5s^2 + (1 + 0.25K)s + K = 0$ , 即  $K = \frac{-(0.5s^2 + s)}{0.25s + 1}$ , 将  $s = -1.172$  及  $s = -6.828$  代入上式, 求得  $K_1 = 0.686, K_2 = 23.31$ 。所以系统无超调响应时开环增益  $K$  的取值范围为  $0 \leq K \leq 0.686$  或  $23.31 \leq K < \infty$ 。

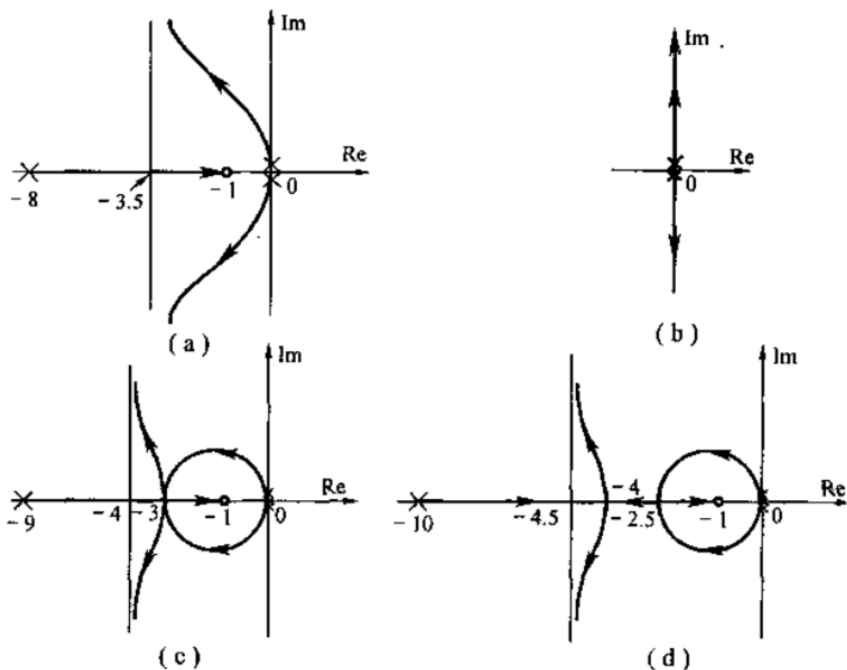
4.4 设某反馈系统的特征方程为

$$s^2(s+a) + k(s+1) = 0$$

试确定以  $k$  为参变量的根轨迹与负实轴无交点、有一个交点与有两个交点时的参量  $a$ , 并绘制相应的根轨迹图。

4-4 设某反馈系统的特征方程为  $s^2(s+a) + k(s+1) = 0$ 。试确定以  $k$  为参变量的根轨迹与负实轴无交点、有一个交点与有两个交点时的参量  $a$ ，并绘制相应的根轨迹图。

解 由题意可得给定系统的根轨迹方程为  $\frac{k(s+1)}{s^2(s+a)} = -1$ ，由  $\frac{2}{d} + \frac{1}{d+a} = \frac{1}{d+1}$ ，求得根轨迹与负实轴交点的表达式



题 4-4 解图

$$d = \frac{-(3+a) \pm \sqrt{(a-1)(a-9)}}{4}$$

(1) 当根轨迹与负实轴无交点，即  $d$  无实数解，则  $(a-1)(a-9) < 0$ ，解得此时参数  $a$  的取值范围为  $1 < a < 9$ 。当  $a=8$  时根轨迹的大致图形如题 4-4 解图(a)所示。

(2) 当根轨迹与负实轴有一个交点，即  $d$  为两相等实根，此时  $a=1$  或  $a=9$ 。 $a=1$  及  $a=9$  时根轨迹的大致图形分别如解图(b),(c)所示。

(3) 当根轨迹与负实轴有两个交点，即  $d$  为两不等实根，此时  $(a-1)(a-9) > 0$ ，解得  $a > 9$ 。 $a=10$  时根轨迹的大致图形如解图(d)所示。

4.5 设某正反馈系统的开环传递函数为

$$G(s)H(s) = \frac{k(s+2)}{(s+3)(s^2+2s+2)}$$

试为该系绘制以  $k$  为参变量的根轨迹图。

4-5 设某正反馈系统的开环传递函数为  $G(s)H(s) = \frac{k(s+2)}{(s+3)(s^2+2s+2)}$ , 试为该系统绘制以  $k$  为参变量的根轨迹图。

解 该正反馈系统的根轨迹方程为  $\frac{k(s+2)}{(s+3)(s^2+2s+2)} = +1$ , 需按  $0^\circ$  根轨迹绘制。

(1) 开环极点,  $p_1 = -3, p_{2,3} = -1 \pm j, n = 3$ ; 开环零点  $z_1 = -2, m = 1$ 。

(2) 根轨迹具有两条渐近线, 其与实轴正方向的夹角为

$$\varphi_l = \frac{2l\pi}{n-m} \quad (l=0, 1, \dots, n-m-1)$$

分别求得  $\varphi_1 = 0^\circ, \varphi_2 = 180^\circ$ 。

(3)  $[-3, -\infty)$  和  $[-2, +\infty)$  为实轴上的根轨迹。

(4) 出射角

$$\theta_{p_2} = 0^\circ + \angle(p_2 - z_1) - \angle(p_2 - p_1) - \angle(p_2 - p_3) = 0^\circ + 45^\circ - 26.6^\circ - 90^\circ = -71.6^\circ$$

$$\theta_{p_3} = -\theta_{p_2} = +71.6^\circ$$

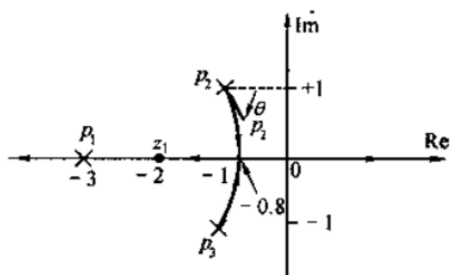
(5) 根轨迹与实轴交点

$$\frac{d}{ds} \left[ \frac{(s+3)(s^2+2s+2)}{k(s+2)} \right] \Big|_{s=\alpha} = 0$$

求得实数解  $\alpha_1 = -0.8$ , 因此, 根轨迹与实轴会合点坐标为  $(-0.8, j0)$ 。

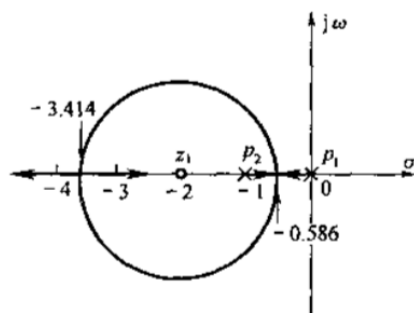
(6) 给定系统的特征方程为  $1 - \frac{k(s+2)}{(s+3)(s^2+2s+2)} = 0$ , 即  $s^3 + 5s^2 + (8-k)s + (6-2k) = 0$ ,

将  $s = j\omega$  代入方程, 解出  $\omega = 0, k = 3$ , 对应的开环增益为  $K = \frac{k \times 2}{3 \times 2} = 1$ 。当  $1 > K \geq 0$  时, 该系统稳定。当  $K > 1$  时, 该系统不稳定。该系统的根轨迹大致图形如题 4-5 解图所示。



题 4-5 解图

5. 设单位反馈系统的开环传递函数为  $G(s) = \frac{K^*(s+2)}{s(s+1)}$ , 其根轨迹图见图。试从数学上证明: 复数根轨迹部分是以  $(-2, j0)$  为圆心, 以  $\sqrt{2}$  为半径的一个圆。



5. 证明 闭环特征方程为

$$D(s) = s(s+1) + K^*(s+2) = s^2 + (1+K^*)s + 2K^* = 0$$

$$\lambda = \frac{-(1+K^*) \pm \sqrt{(1+K^*)^2 - 8K^*}}{2} = \frac{-(1+K^*) \pm j\sqrt{8K^* - (1+K^*)^2}}{2} = \sigma \pm j\omega$$

$$\sigma = \frac{-(1+K^*)}{2} \quad (1)$$

$$\omega = \pm \frac{1}{2}\sqrt{8K^* - (1+K^*)^2} \quad (2)$$

由式(1)得

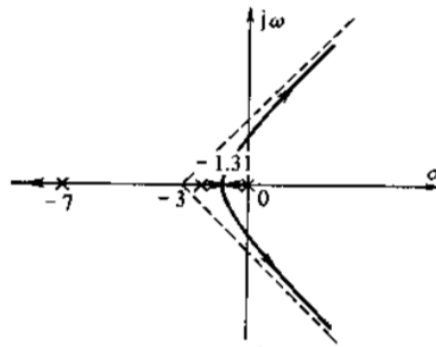
$$K^* = -2\sigma - 1 \quad (3)$$

由式(3)代入式(2), 整理得  $(\sigma+2)^2 + \omega^2 = 2$ 。

10. 单位负反馈系统的开环传递函数为

$$G(s) = \frac{k}{s(s+3)(s+7)}$$

试确定使系统具有欠阻尼阶跃响应特性的取值范围。



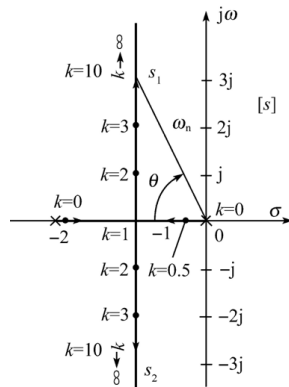
题 10 解图

分离点  $-1.31$ , 对应  $k = 12.6$ , 根轨迹与虚轴交于  $\pm 4.58j$ , 对应的  $k = 210$ 。当  $12.6 < k < 210$  时, 系统具有一对负实部共轭复数极点, 具有欠阻尼阶跃响应。

11. 单位负反馈系统的开环传递函数为

$$G(s) = \frac{K}{s(0.5s+1)}$$

用根轨迹法分析开环放大系数  $K$  对系统性能的影响, 计算  $K = 5$  时系统动态指标  $\sigma_p, t_r, t_p, t_s$ 。



解:  $G(s) = \frac{K}{s(0.5s+1)} = \frac{2K}{s(s+2)} = \frac{k}{s(s+2)} \quad k = 2K$

$K$ 为任意值时, 系统都是稳定的。

当 $0 < K < 0.5$  ( $0 < k < 1$ )时, 系统有两个相等的负实根, 系统的动态响应是非震荡的。

当 $0.5 < K < \infty$  ( $1 < k < \infty$ )时, 系统有一对共轭复数极点, 系统的动态响应是震荡的。

当 $K = 5$  ( $k = 10$ )时, 由图知系统的闭环极点为

$$s_{1,2} = -\zeta\omega_n \pm j\omega_n\sqrt{1-\zeta^2} = -1 \pm j3 \Rightarrow$$

$$\omega_n = \sqrt{10} = 3.16, \quad \zeta = \cos\theta = \frac{1}{3.16} = 0.316$$

$$\sigma_p = e^{-\frac{\pi\zeta}{\sqrt{1-\zeta^2}}} \times 100\% = 35\%$$

$$t_r = \frac{\pi - \theta}{\omega_n\sqrt{1-\zeta^2}} = \frac{3.14 - 1.25}{3} = 0.63s$$

$$t_p = \frac{\pi}{\omega_n\sqrt{1-\zeta^2}} = 1.05s, \quad t_s = \frac{3}{\zeta\omega_n} = 3s(\Delta = 5\%)$$